

УДК 677.053.312.001 (575.2) (04)

**К ВОПРОСУ ИССЛЕДОВАНИЯ
НАПРЯЖЕННО-ДЕФОРМИРОВАННОГО СОСТОЯНИЯ ТЕЛ
НАМОТКИ СНОВАЛЬНОЙ ПАКОВКИ МАШИНЫ СП-180**

К.Д. Джаманкулов – докт. техн. наук, профессор,

Л.С. Карташова – ст. преподаватель,

Е.П. Зыкова – ассистент

The results of researches of the intense-deformed condition of bodies of winding machines of the joint venture-180 are resulted.

Известно, что определяющим фактором механической напряженности в сновальных паковках является натяжение нитей в процессе намотки. Вопросам напряженного состояния текстильной паковки, а также расчетам давления на ее основание был посвящен ряд работ [1–7 и др.].

В работе В.А. Гордеева [1] предложены формулы для определения давления на бесфланцевый патрон, но практическое использование полученных формул затруднительно ввиду сложности вычисления коэффициентов, характеризующих уменьшение напряжения (усилия) в нити. К тому же расчеты, приведенные в этой работе, не согласуются с экспериментами, изложенными в работе В.А. Степанова [2].

К.Д. Джаманкуловым в своих исследованиях [4] изложены методы изучения внутренних усилий, напряжений и плотности в телах намотки. Обобщающей характеристикой напряженного состояния паковки, как отмечает автор, является плотность намотки текстильного материала, связующая в единый комплекс параметры напряженного состояния паковки.

Анализируя исследования В.А. Гордеева, С.А. Александрова и др. [1, 3] В.А. Сухарев и др. [7] выделяют три математические модели: 1) математическая модель Гордеева – Кленова; 2) математическая модель, основывающаяся на

представлении тела намотки как толстостенной анизотропной трубы; 3) математическая модель, созданная М.Г. Парнесом при рассмотрении намотки провода на круглый каркас.

В работе В.А. Линник [6] рассмотрены вопросы зависимости давления на основание сновальной паковки от силы натяжения при сновке.

И.И. Вайнер [5] отмечает различные факторы, влияющие на напряженно-деформированное состояние тел намотки, в частности, влияние прижимного валика, терможидкостной обработки и т.д. Автор также уделяет внимание исследованию напряжений в телах намотки с учетом реологических особенностей.

Из изложенного выше видно, что при решении отдельных теоретических вопросов в ряде случаев некоторые условия были упрощены. Вполне естественно, что эти упрощения в определенных случаях правомерны и уместны, но в других случаях дают значительное искажение результатов. Чтобы ответить на имеющиеся вопросы, необходимы дальнейшие исследования. Предполагается, что намотку сновальной паковки можно рассматривать как сплошное однородное анизотропное тело, подчиняющееся законам Гука. В данном случае в теле намотки сновальной паковки возникает плоское деформированное состояние, т.к. не

происходит смещения в осевом направлении (рис. 1) и имеются жесткие фланцы.

Введем полярную систему координат (рис. 2). выделяем из тела намотки бесконечно малый элемент $abcd$ толщиной, равной единице. Для этого проводится радиус oab под произвольным углом θ к оси r , затем углу дается бесконечно малое приращение $d\theta$ и проводится радиус ocd (рис. 2). Произвольным радиусом $oa=r$ проводим вторую дугу bc . Стороны полученного бесконечно малого элемента $abcd$ будут иметь следующие размеры: $ab=cd=dr$, $ad=r d\theta$, $bc=(r+dr)d\theta$. На границах указанного элемента действуют следующие составляющие напряжений: σ_r – радиальное нормальное напряжение; σ_θ – окружное нормальное напряжение; $\tau_{r\theta}=\tau_{\theta r}$ – касательные напряжения. Перемещение вдоль оси r обозначим W , вдоль оси θ – V .

Решение будем основывать на общих уравнениях плоской задачи теории упругости в полярных координатах.

Дифференциальные уравнения равновесия:

$$\frac{1}{r} \cdot \frac{\partial \sigma_\theta}{\partial \theta} + \frac{\partial \tau_{\theta r}}{\partial r} + \frac{2\tau_{\theta r}}{r} + \theta_1 = 0, \quad (1)$$

$$\frac{1}{r} \cdot \frac{\partial \tau_{r\theta}}{\partial \theta} + \frac{\partial \sigma_r}{\partial r} + \frac{s_r - s_\theta}{r} + R_1 = 0. \quad (2)$$

Уравнение сплошности:

$$\left(\frac{\partial^2}{\partial r^2} + \frac{1}{r} \cdot \frac{\partial}{\partial r} + \frac{1}{r^2} \cdot \frac{\partial^2}{\partial \theta^2} \right) (\sigma_r + \sigma_\theta) = 0. \quad (3)$$

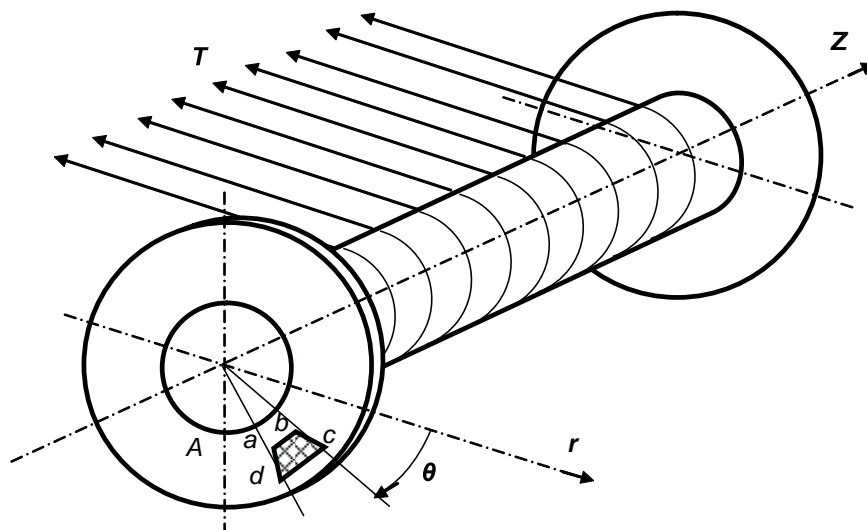


Рис. 1. Схема намотки сновальной паковки.

Формулы Коши:

$$e_q = \frac{1}{r} \cdot \frac{\partial V}{\partial q} + \frac{W}{r}, \quad (4)$$

$$\varepsilon_r = \frac{\partial W}{\partial r}, \quad (5)$$

$$g_{qr} = \frac{\partial V}{\partial r} - \frac{V}{r} + \frac{1}{r} \cdot \frac{\partial W}{\partial q}, \quad (6)$$

где ε_r , ε_θ – относительные деформации в направлении осей r и θ соответственно; $\gamma_{\theta r}$ – относительная угловая деформация.

Формулы закона Гука:

$$\varepsilon_\theta = \frac{1}{E} (\sigma_\theta - \nu \sigma_r), \quad (7)$$

$$e_r = \frac{1}{E} (s_r - \nu s_\theta), \quad (8)$$

$$\gamma_{\theta r} = \frac{2(1-\nu)}{E} \cdot \tau_{\theta r}, \quad (9)$$

где E – модуль упругости изотропного материала; ν – коэффициент Пуассона.

Угловая скорость сновальной паковки $\omega \neq const$, поэтому в теле намотки возникают объемные силы θ_1 и R_1 , являющиеся результатом тангенциального и нормального ускорений

$$q_1 = r e_r, \quad (10)$$

$$R_1 = \rho \omega^2 r, \quad (11)$$

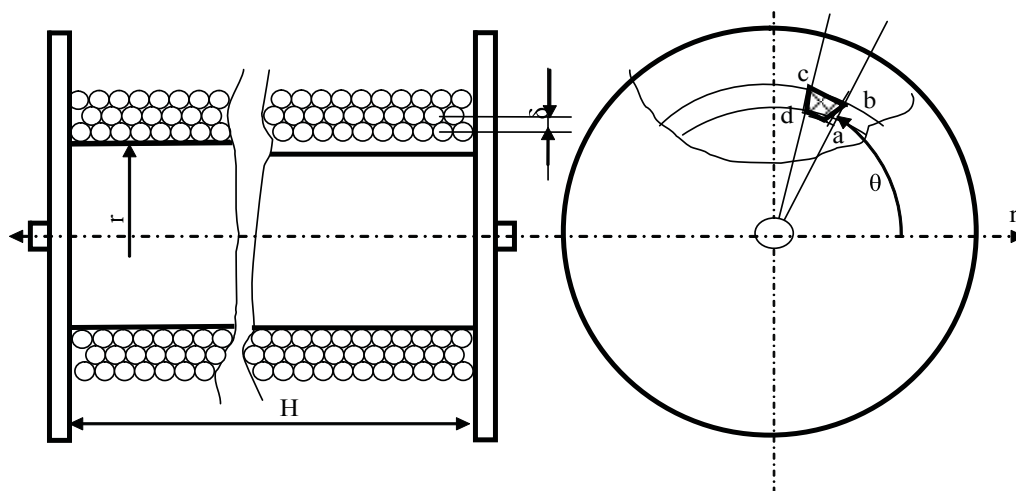


Рис. 2. Бесконечно малый элемент в полярной системе координат.

где ρ – плотность тела намотки; r – расстояние от точки до оси вращения; ω , ε – соответственно угловая скорость и угловое ускорение сновальной паковки.

Для простоты предположим, что нити имеют круглое сечение, при наматывании каждая нить образует только один радиальный слой (рис. 3).

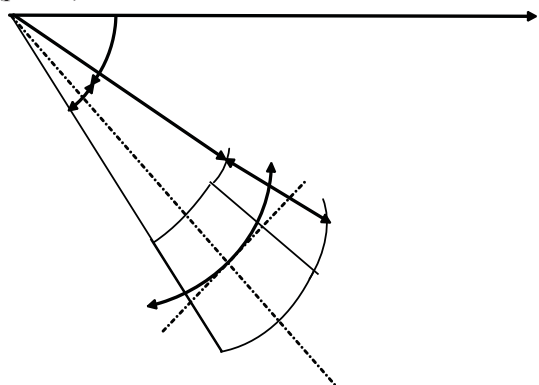


Рис. 3. Схема нити при наматывании в один слой.

При этом для определения ω , ε необходимо знать время намотки t_n сновальной паковки.

Для этого воспользуемся результатами работ [8, 9]:

$$t_n = \frac{\rho g H \cdot 10^5}{Z_n T v} (r_n^2 - r_0^2), \quad (12)$$

$$r_n = \sqrt{r_0^2 + t_n \cdot \frac{Z_n T V}{\pi \gamma H \cdot 10^5}}, \quad (13)$$

$$\omega = \frac{V}{\sqrt{r_0^2 + t_n} \cdot \frac{Z_n T V}{\rho g H \cdot 10^5}}, \quad (14)$$

$$\varepsilon = \frac{\delta_2 V}{\left(r_0^2 + t_n \cdot \frac{Z_n T V}{\pi \gamma H \cdot 10^5} \right)^{3/2}}, \quad (15)$$

где $\delta_2 = \frac{Z_n T C n^2}{\pi H \cdot 10^5}$; T – толщина нитей, текс; Cn – постоянный коэффициент для хлопчатобумажной пряжи $Cn=1,25$ [8]; V – скорость сновки; Z_n – число нитей.

С учетом (14), (15) выражения (10) и (11) примут вид:

$$\theta_1 = \rho \cdot \frac{\delta^2 V r_n}{\left(r_0^2 + t_n \cdot \frac{Z_n T C n^2 V}{\pi H \cdot 10^5} \right)^{3/2}}, \quad (16)$$

$$R_1 = \rho \cdot \frac{V r_n}{\sqrt{r_n^2 + t_n} \cdot \frac{Z_n T C n^2 V}{\pi H \cdot 10^5}}. \quad (17)$$

Плотность предполагается постоянной, $\rho = \text{const}$.

При формировании сновальной паковки на нить действует сила натяжения T_n , что вызывает в сечениях нити определенное натяжение:

$$\sigma_0^* = \frac{T_n}{A},$$

где $A = \frac{\rho d^2}{4}$ – площадь поперечного сечения нити диаметром d .

В теле катушки это приводит к изменению окружного нормального напряжения на величину

$$\sigma_0 = \kappa \frac{4T_H}{\pi d^2}, \quad (18)$$

где κ – коэффициент заполнения катушки нитью в радиальном сечении в слоях ($\kappa=0,6\dots 0,8$) [4].

Допускаем, что напряжение нити равномерное, т.е. $\sigma_0 = \text{const}$. (19)

В работе [1] показано, что при малых углах катушки σ_0 фактически совпадает с намоточным напряжением.

Из-за анизотропии механических характеристик тела катушки формулы закона Гука должны быть несколько изменены [2]:

$$\begin{aligned} e_r &= \frac{s_r}{E_r} - \frac{m_{qr}}{E_q} \cdot s_q, \\ \varepsilon_\theta &= \frac{\sigma_\theta}{E_\theta} - \frac{\mu_{r\theta}}{E_r} \cdot \sigma_r. \end{aligned} \quad (20)$$

Последним слагаемым правой части уравнения (20) можно пренебречь на основании следующих соображений [1]: Во-первых, окружная деформация тела катушки e_θ в основном зависит от напряжения σ_θ почти линейно. Физически это можно объяснить следующим образом: если натянутую тонкую нить подвергнуть боковому сжатию системой дискретных сил (что и происходит в теле катушки), то изменение ее длины обусловлено эффектом Пуассона и будет пренебрежимо мало. Во-вторых, присутствие указанного слагаемого приводит к противоречию в случае катушки нити на абсолютно жесткую оправку: при $r=r_0$ не могут быть одновременно выполнены очевидные условия $\sigma_\theta=0$ и $W=0$, поскольку давление σ_r оказываемое телом катушки на жесткую оправку, экстремально.

По формулировке задачи напряженно-деформированное состояние в теле катушки не должно зависеть от угловой координаты по соображениям симметрии, следовательно, задача будет осесимметричной. Из общей теории упругости известно, что $\tau_{r\theta} = 0$.

С учетом изложенного выше получаем следующую систему уравнений, описывающую

напряженно-деформированное состояние тела катушки сновальной паковки:

Дифференциальное уравнение равновесия:

$$\begin{aligned} \frac{\partial \sigma_r}{\partial r} + \frac{\sigma_r + (\sigma_\theta - \sigma_r)}{r} + \\ + \rho \left(\frac{V}{\sqrt{r_H^2 + t_H} \cdot \frac{Z_H T \cdot C^2 \cdot V}{\pi H \cdot 10^5}} \right)^2 \cdot r = 0. \end{aligned} \quad (21)$$

Формулы Коши:

$$\varepsilon_\theta = \frac{W}{r}, \quad (22)$$

$$e_r = \frac{\partial W}{\partial r}. \quad (23)$$

Формулы закона Гука:

$$\varepsilon_r = \frac{\sigma_r}{E_r} - \frac{\mu_{\theta r}}{E_\theta} \cdot \sigma_\theta, \quad (24)$$

$$e_q = \frac{s_q}{E_q}. \quad (25)$$

Решаем задачу в перемещениях. Из уравнений (22–25) определяем через перемещение W радиальное и окружное напряжения:

$$\begin{aligned} \varepsilon_\theta = \frac{W}{r} = \frac{\sigma_\theta}{E_\theta}, \quad e_r = \frac{\partial W}{\partial r} = \frac{s_r}{E_r} - \frac{m_{qr}}{E_q}, \\ \sigma_\theta = E_\theta \frac{W}{r}, \end{aligned} \quad (26)$$

$$\begin{aligned} s_r = E_r \frac{\partial W}{\partial r} + m_{qr} \frac{E_r}{E_q} s_q = E_r \frac{\partial W}{\partial r} + m_{qr} \frac{E_r}{E_q} \cdot \frac{W}{r} \cdot E_q, \\ \sigma_r = E_r \frac{\partial W}{\partial r} + E_r \frac{\mu_{\theta r}}{r}. \end{aligned} \quad (27)$$

Подставляем значения напряжений из (27) в уравнение равновесия (21), имеем:

$$\begin{aligned} \frac{\partial}{\partial r} \left(E_r \frac{\partial W}{\partial r} + E_r \mu_{\theta r} \frac{W}{r} \right) + \frac{1}{r} \left[\left(E_r \frac{\partial W}{\partial r} + E_r \mu_{\theta r} \frac{W}{r} \right) - E_\theta \frac{W}{r} \right] = \\ = -\rho \frac{\left(\frac{V}{\sqrt{r_H^2 + t_H} \cdot \frac{Z_H T \cdot C^2 \cdot V}{\pi H \cdot 10^5}} \right)^2}{E_r} \cdot r - \frac{\sigma_0}{E_r} \cdot \frac{1}{r}. \end{aligned} \quad (28)$$

Вводим обозначения

$$\frac{E_0}{E_r} = \lambda, \quad \frac{m_{gr}}{r} = a,$$

$$\rho \frac{\left(\frac{V}{\sqrt{r_H^2 + t_H} \frac{Z_H T C^2 V}{\pi H \cdot 10^5}} \right)^2}{E_r} = b, \quad \frac{\sigma_0}{E_r} = l,$$

тогда уравнение (28) примет вид:

$$\frac{d^2 W}{dr^2} + (1+2a) \frac{1}{r} \cdot \frac{dW}{dr} - \lambda \frac{W}{r^2} = -br - \frac{l}{r}. \quad (29)$$

Вводим новую переменную $r = e^Z$,

$$Z = \ln r,$$

т.к. $\frac{dz}{dr} = \frac{1}{r}$, то $\frac{dW}{dr} = \frac{dW}{dZ} \cdot \frac{dZ}{dr} = \frac{1}{r} \cdot \frac{dW}{dZ}$,

$$\begin{aligned} \frac{d^2 W}{dr^2} &= \frac{d}{dr} \left(\frac{dW}{dr} \right) = \frac{d}{dr} \left(\frac{1}{r} \cdot \frac{dW}{dZ} \right) = \\ &= -\frac{1}{r^2} \cdot \frac{dW}{dZ} + \frac{1}{r^2} \cdot \frac{d^2 W}{dZ^2} = \\ &= \frac{1}{r^2} \left(\frac{d^2 W}{dZ^2} - \frac{dW}{dZ} \right). \end{aligned}$$

Подставляя выражения производных в уравнение (29), получаем:

$$\begin{aligned} \frac{1}{r^2} \cdot \frac{d^2 W}{dZ^2} - \frac{1}{r^2} \cdot \frac{dW}{dZ} + \frac{(1+2a)}{r^2} \cdot \frac{dW}{dZ} - l \frac{W}{r^2} &= -br - \frac{l}{r}, \\ \frac{d^2 W}{dZ^2} + 2a \frac{dW}{dZ} - lW &= -be^3 - lr, \end{aligned}$$

$$\frac{d^2 W}{dZ^2} + 2a \frac{dW}{dZ} - lW = -be^{3Z} - le^Z. \quad (30)$$

Соответствующее однородное уравнение принимает вид:

$$\frac{d^2 W}{dZ^2} + 2a \frac{dW}{dZ} - lW = 0. \quad (31)$$

Решение ищем в виде $W = ce^{nz}$,

$$\frac{dW}{dZ} = cne^{nz} = nW, \quad \frac{d^2 W}{dZ^2} = n^2 W.$$

Подставляя выражения полученных производных в (31), получаем характеристическое уравнение

$$n^2 + 2an - \lambda = 0, \quad n_{1,2} = -a \pm \sqrt{a^2 + \lambda}.$$

Так как $D = a^2 + \lambda \geq 0$, то решение будет иметь вид:

$$W = c_1 e^{n_1 z} + c_2 e^{n_2 z}. \quad (32)$$

Частное решение будем искать в виде:

$$W^* = Ae^{3Z} + Be^Z, \quad \frac{dW^*}{dZ} = 3Ae^{3Z} + Be^Z,$$

где А и В – неопределенные постоянные, для нахождения которых подставляем производные в основное уравнение (30):

$$\begin{aligned} 9Ae^{3Z} + Be^Z + 2a \cdot 3Ae^{3Z} + \\ + 2a \cdot Be^Z - \lambda Ae^{3Z} - \lambda Be^Z = \\ = be^{3Z} - le^Z. \end{aligned}$$

Приравнявая коэффициенты с одинаковыми степенями, получаем уравнения для определения А и В:

$$9A + 6aA - \lambda A = -b, \quad B - 2aB - \lambda B = -l.$$

$$\text{Откуда } A = -\frac{b}{9 - 6a - \lambda}, \quad (33)$$

$$B = -\frac{l}{1 + 2a - \lambda}. \quad (34)$$

Общее решение будет иметь вид:

$$\begin{aligned} W = c_1 e^{n_1 z} + c_2 e^{n_2 z} - \\ - \frac{b}{9 + 6a - \lambda} e^{3z} - \frac{l}{1 + 2a - \lambda} e^z. \end{aligned} \quad (35)$$

Переходя к переменной r , определяем функцию перемещения с точностью до постоянных c_1 и c_2 .

$$\begin{aligned} W = c_1 r^{n_1} + c_2 r^{n_2} - \\ - \frac{b}{9 + 6a - \lambda} r^3 - \frac{l}{1 + 2a - \lambda} r, \end{aligned} \quad (36)$$

или

$$\begin{aligned} W = c_1 r^{n_1} + c_2 r^{n_2} - \\ - \frac{b}{9 + 6a - \lambda} r^3 - \frac{l}{1 + 2a - \lambda} r, \end{aligned} \quad (37)$$

где $\lambda = \frac{E_0}{E_r}$; $a = \frac{\mu_{0r}}{2}$; $b = \rho \frac{\omega^2}{E_r}$; $l = \frac{\sigma_0}{E_r}$;
 $n_2 = -a + \sqrt{a^2 + \lambda}$.

Определяем функции напряжения

$$\sigma_\theta = \frac{E_0}{r} W = c_1 E_0 r^{n_1-1} + c_2 E_0 r^{n_2-1} - \frac{b}{9+6a-\lambda} r^2 - \frac{l}{1+2a-\lambda}, \quad (38)$$

$$\sigma_r = c_1 E_r (n_1 + \mu_{0r}) r^{n_1-1} + c_2 E_r (n_2 + \mu_{0r}) r^{n_2-1} - c_1 \frac{E_r b r^2}{9+6a-\lambda} (3 + \mu_{0r}) - \frac{E_r l}{1+2a-\lambda} (1 + \mu_{0r}). \quad (39)$$

Определяем функции относительной деформации

$$\varepsilon_\theta = \frac{W}{r} = c_1 r^{n_1-1} + c_2 r^{n_2-1} - \frac{b}{9+6a-\lambda} r^2 - \frac{l}{1+2a-\lambda}, \quad (40)$$

$$\varepsilon_r = \frac{\partial W}{\partial r} = c_1 n_1 r^{n_1-1} + c_2 n_2 r^{n_2-1} - \frac{3br^2}{9+6a-\lambda} - \frac{l}{1+2a-\lambda}. \quad (41)$$

Постоянные интегрирования c_1 и c_2 определяются из следующих условий:

На оправке радиуса $r=r_b$ смещение в радиальном направлении равно нулю

$$W(r_b) = 0. \quad (42)$$

На свободной наружной поверхности при $r=r_H$ радиальное напряжение равно нулю

$$\sigma_r(r_H) = 0 \quad (43)$$

Условиям (42) и (43) соответствуют следующие уравнения:

$$c_1 r_b^{n_1} + c_2 r_b^{n_2} - \frac{b}{9+6a-\lambda} r_b^3 - \frac{l}{1+2a-\lambda} r_b = 0, \quad (44)$$

$$c_1 E_r (n_1 + \mu_{0r}) r_H^{n_1-1} + c_2 E_r (n_2 + \mu_{0r}) r_H^{n_2-1} - \frac{E_r b (3 + \mu_{0r})}{9+6a-\lambda} r_H^2 - \frac{E_r l}{1+2a-\lambda} (1 + \mu_{0r}) = 0. \quad (45)$$

Вводим обозначения:

$$\begin{aligned} \alpha_{11} &= r_b^{n_1}; \quad \mathbf{b}_1 = \frac{b}{9+6a-\lambda} r_b^3 + \frac{l}{1+2a-\lambda} r_b; \\ \mathbf{a}_{12} &= r_b^{n_2}; \\ E_r \alpha_{21} &= E_r (n_1 + \mu_{0r}) r_H^{n_1-1}; \\ E_r \mathbf{a}_{22} &= E_r (n_2 + \mu_{0r}) r_H^{n_2-1}; \\ E_r \beta_2 &= \frac{E_r b (3 + \mu_{0r})}{9+6a-\lambda} r_H^2 - \frac{E_r l}{1+2a-\lambda} (1 + \mu_{0r}). \end{aligned} \quad (46)$$

Тогда система примет вид

$$\mathbf{a}_{11} c_1 + \mathbf{a}_{12} c_2 = \mathbf{b}_1, \quad \alpha_{21} c_1 + \alpha_{22} c_2 = \beta_2$$

$$c_1 = \frac{\begin{vmatrix} \mathbf{b}_1 \mathbf{a}_{12} \\ \mathbf{b}_2 \mathbf{a}_{22} \end{vmatrix}}{\begin{vmatrix} \mathbf{a}_{11} \mathbf{a}_{12} \\ \mathbf{a}_{21} \mathbf{a}_{22} \end{vmatrix}} = \frac{\mathbf{b}_1 \mathbf{a}_{22} - \mathbf{b}_2 \mathbf{a}_{12}}{\mathbf{a}_{11} \mathbf{a}_{22} - \mathbf{a}_{12} \mathbf{a}_{21}}, \quad (47)$$

$$c_2 = \frac{\begin{vmatrix} \alpha_{11} \beta_1 \\ \alpha_{21} \beta_2 \end{vmatrix}}{\begin{vmatrix} \alpha_{11} \alpha_{12} \\ \alpha_{21} \alpha_{22} \end{vmatrix}} = \frac{\alpha_{11} \beta_2 - \alpha_{21} \beta_1}{\alpha_{11} \alpha_{22} - \alpha_{21} \alpha_{12}}. \quad (48)$$

Разумеется, формулы напряжений и деформаций можно привести к виду, включающему только исходные параметры, но тогда они будут слишком громоздкими.

Более удобно представить результаты в форме системы формул:

$$\lambda = \frac{E_0}{E_r}; \quad a = \frac{m_{qr}}{2}; \quad \mathbf{b} = \frac{r w^2}{Er}; \quad l = \frac{\sigma_0}{Er};$$

$$n_1 = -a - \sqrt{a^2 + 1}; \quad n_2 = -a + \sqrt{a^2 + \lambda};$$

$$\mathbf{a}_{11} r_b^{n_1}; \quad \mathbf{a}_{12} r_b^{n_2}; \quad \beta_1 = \frac{b}{9+6a-\lambda} r_b^3 - \frac{l}{1+2a-\lambda} r_b;$$

$$\mathbf{a}_{21} = (n_1 + m_{qr}) r_H^{n_1-1}; \quad \alpha_{22} = (n_2 + \mu_{0r}) r_H^{n_2-1};$$

$$\mathbf{b}_2 = \frac{b(3+m_{qr})}{9+6a-\lambda} r_H^2 + \frac{l(1+m_{qr})}{1+2a-\lambda}; \quad A = 9+6a-\lambda;$$

$$B = 1+2a-\lambda; \quad c_1 = \frac{\beta_1 \alpha_{22} - \beta_2 \alpha_{12}}{\alpha_{11} \alpha_{22} - \alpha_{12} \alpha_{21}};$$

$$c_2 = \frac{\mathbf{a}_{11} \mathbf{b}_2 - \mathbf{a}_{21} \mathbf{b}_1}{\mathbf{a}_{11} \mathbf{a}_{22} - \mathbf{a}_{21} \mathbf{a}_{12}}; \quad W = c_1 r^{n_1} + c_2 r^{n_2} - \frac{br^3}{A} - \frac{l}{B} r;$$

$$s_q = E_q \left(c_1 r^{n_1-1} + c_2 r^{n_2-1} - \frac{br^2}{A} - \frac{l}{B} \right);$$

$$\sigma_r = E_r \left(c_1 (n_1 + \mu_{0r}) r^{n_1-1} + c_2 (n_2 + \mu_{0r}) r^{n_2-1} - \frac{br^2}{A} (3 + \mu_{0r}) - \frac{l}{B} (1 - \mu_{0r}) \right);$$

$$e_q = c_1 r^{n_1-1} + c_2 r^{n_2-1} - \frac{br^2}{A} - \frac{l}{B};$$

$$\varepsilon_r = c_1 n_1 r^{n_1-1} + c_2 n_2 r^{n_2-1} - \frac{3br^2}{A} - \frac{l}{B}.$$

Таким образом, в данной работе описано исследование напряженного состояния сновальной паковки на основе общей теории упругости

гости с учетом анизотропии, объемных сил в теле намотки, являющихся результатом тангенциального и нормального ускорений.

На основании указанного исследования приведены инженерные методы расчета для оценки напряженно-деформированного состояния и динамики сновальной паковки из нитей основы при намотке на сновальный валик.

Литература

1. *Гордеев В.А.* К расчету давлений намотки текстильных материалов.– Л.: ЛТИ, 1957. – №9.
2. *Степанов В.А.* Теоретическое и экспериментальное исследование формирования текстильных паковок и разработка методов их расчета: Автореф. дис. ...докт. техн. наук. – Кострома: КТИ, 1978.
3. *Александров С.А., Кленов В.Б.* Формирование ткацких паковок.–М.: Легкая индустрия, 1976.
4. *Джаманкулов К.Д.* Стабилизация процессов наматывания и сматывания пряжи в сновальных машинах: Автореф. дис. ...докт. техн. наук. – Кострома: КТИ, 1990.
5. *Вайнер И.И.* Развитие теоретических основ технологии формирования паковок текстильных нитей и их практическая реализация в текстильной промышленности: Автореф. дис. ...докт. техн. наук. – Л., 1990.
6. *Линник В.А.* Разработка эффективных методов повышения устойчивости паковок на машин для производства химических нитей: Автореф. дис. ...докт. техн. наук. – М.: МГТА, 1990.
7. *Сухарев В.А., Матюшев И.И.* Расчет тел намотки. – М.: Машиностроение, 1982.